

光衍射定量实验

目录

1	实验目的	3
2	实验仪器	3
3	测量单缝衍射的光强分布	3
3.1	利用衍射次极强计算缝宽 a	4
3.2	利用一级暗纹计算缝宽 a	4
3.3	数据可视化	5
3.3.1	原始数据绘图	5
3.3.2	理论与实验比较	6
3.3.3	曲线拟合绘图	6
3.3.4	python 代码拟合作图	7
4	测量双缝衍射的光强分布	8
4.1	利用衍射次极强计算缝间距 d	8
4.2	利用一级暗纹计算缝间距 d	9
4.3	利用包络线出现一级暗纹计算缝宽 a	10
4.4	数据可视化	11
4.4.1	原始数据绘图	11
4.4.2	理论与实验比较	11
4.4.3	曲线拟合绘图	12
4.4.4	python 代码拟合作图	13
5	测量三缝衍射的光强分布	14
5.1	利用衍射次极强计算缝间距 d	14
5.2	利用一级暗纹计算缝间距 d	15
5.3	利用包络线出现一级暗纹计算缝宽 a	15
5.4	数据可视化	16
5.4.1	原始数据绘图	16
5.4.2	理论与实验比较	17
5.4.3	曲线拟合绘图	17

5.4.4 python 代码拟合作图	18
6 python 源代码 (以三缝数据为例)	19
7 分析与讨论	21
7.1 实验中误差来源分析	21

摘要

光在传播过程中，遇到障碍物或小孔时，光将偏离直线传播的路径而绕到障碍物后面传播的现象叫光的衍射。光的衍射和光的干涉一样证明了光具有波动性。光的衍射决定光学仪器的分辨本领，在现代光学乃至现代物理学和科学技术中，光的衍射得到了越来越广泛的应用。在我们本次试验中，我们将定量研究远场条件下夫琅禾费衍射的相关性质。

关键词：夫琅禾费衍射，波动性，远场条件

1 实验目的

- (1) 掌握在光学平台上组装，调整光路的基本方法；
- (2) 观察并定量测量不同衍射元件产生的光衍射图像；
- (3) 了解光强测量的一种方法；
- (4) 学习微机自动控制和测量衍射光强分布及相关参量。

2 实验仪器

光学平台及附件，激光器及电源，衍射元件，反射镜，光探测器，光栅尺，A/D 转换器，微机。

3 测量单缝衍射的光强分布

从记录实验中测得的 *txt* 文件中，我们得到主极强的相对光强为：

$$I_0 = 3419$$

而左右两个次极强的位置和相对光强为：

$$x_1 = 2.455mm, \quad I_1 = 170$$

$$x_2 = 12.695mm, \quad I_2 = 179$$

通过计算可得：

$$\frac{I_1 + I_2}{2I_0} = 5.1\% \in (4\%, 5.5\%)$$

$$\frac{|I_1 - I_2|}{(I_1 + I_2)/2} = 5.2\% < 10\%$$

因此符合实验要求

3.1 利用衍射次极强计算缝宽 a

根据我们获得的 *txt* 文件，我们发现在次极强的位置周围 $0.005mm$ 内光相对强度没有变化，因此我们可以取极限允差为 $e = 0.010mm$

$$\Delta x = \frac{x_2 - x_1}{2} = 5.120mm$$

不确定度为：

$$\sigma_{\Delta x} = \sqrt{2 \times \left(\frac{e}{2\sqrt{3}}\right)^2} = 0.004mm$$

用钢尺测得衍射元件和传感器的间距为：

$$z = (88.90 - 16.00 + 0.40)cm = 73.30cm$$

最大允差取钢尺的最小分度值 $e = 0.10cm$

我们有公式 $\sin\theta = 1.43\frac{\lambda}{a}$ ，且满足傍轴条件， $\sin\theta = \Delta x/z$

$$\therefore a = 1.43 \frac{\lambda}{\Delta x/z} = 129.58\mu m$$

缝宽 a 的不确定度为：

$$\sigma_a = a \sqrt{\left(\frac{\sigma_{\Delta x}}{\Delta x}\right)^2 + \left(\frac{e_z}{\sqrt{3}z}\right)^2} = 0.14\mu m$$

因此最后结果为： $a = (129.58 \pm 0.14)\mu m$

3.2 利用一级暗纹计算缝宽 a

由 *txt* 文件，左右两个暗纹的位置为：

$$x_1 = 3.880mm, \quad x_2 = 11.075mm$$

根据我们获得的 *txt* 文件，我们发现在左右暗纹的位置周围 $0.005mm$ 内光相对强度没有变化，因此我们可以取极限允差为 $e = 0.010mm$

$$\Delta x = \frac{x_2 - x_1}{2} = 3.598mm$$

不确定度为：

$$\sigma_{\Delta x} = \sqrt{2 \times \left(\frac{e}{2\sqrt{3}}\right)^2} = 0.004mm$$

用钢尺测得衍射元件和传感器的间距为：

$$z = (88.90 - 16.00 + 0.40)cm = 73.30cm$$

最大允差取钢尺的最小分度值 $e = 0.10cm$

我们有公式 $\sin\theta = \frac{\lambda}{a}$ ，且满足傍轴条件， $\sin\theta = \Delta x/z$

$$\therefore a = \frac{\lambda}{\Delta x/z} = 129.92\mu m$$

缝宽 a 的不确定度为：

$$\sigma_a = a \sqrt{\left(\frac{\sigma_{\Delta x}}{\Delta x}\right)^2 + \left(\frac{e_z}{\sqrt{3}z}\right)^2} = 0.18\mu m$$

因此最后结果为： $a = (129.92 \pm 0.18)\mu m$

3.3 数据可视化

3.3.1 原始数据绘图

我们可以将得到的 *txt* 文件画出散点图，通过数据可视化的方法来得到单缝衍射光强的分布。

由原始数据作出的散点图如下图所示：

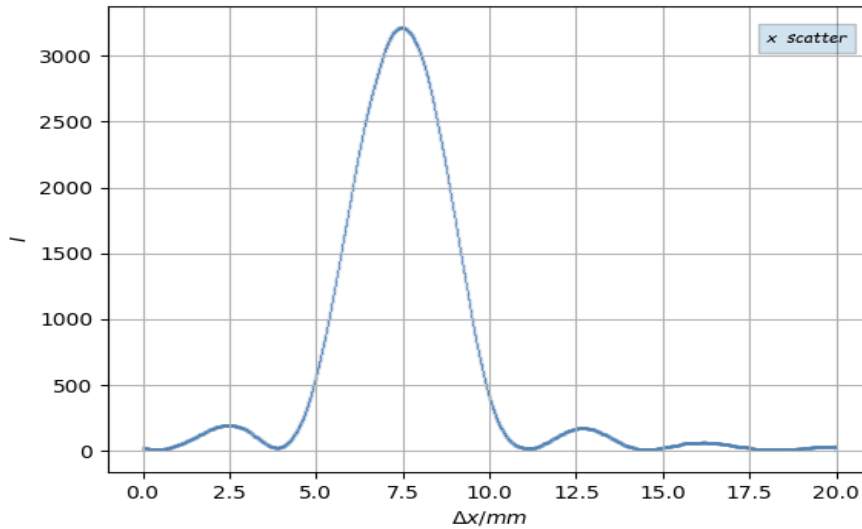


图 1: 单缝衍射光强分布原始数据散点图

3.3.2 理论与实验比较

为检验理论与实验的符合程度，我们将两者的曲线进行比较分析。

在 3.1 与 3.2 节中，我们计算用两种方法出了 $a_1 = (129.58 \pm 0.14) \mu m$, $a_2 = (129.92 \pm 0.18) \mu m$

我们不妨取 $\bar{a} = \frac{a_1 + a_2}{2} = 129.75 \mu m$ ，且傍轴条件使得 $\sin\theta = \Delta x/z$

因此我们带入 \bar{a} 绘制图像如下图所示：

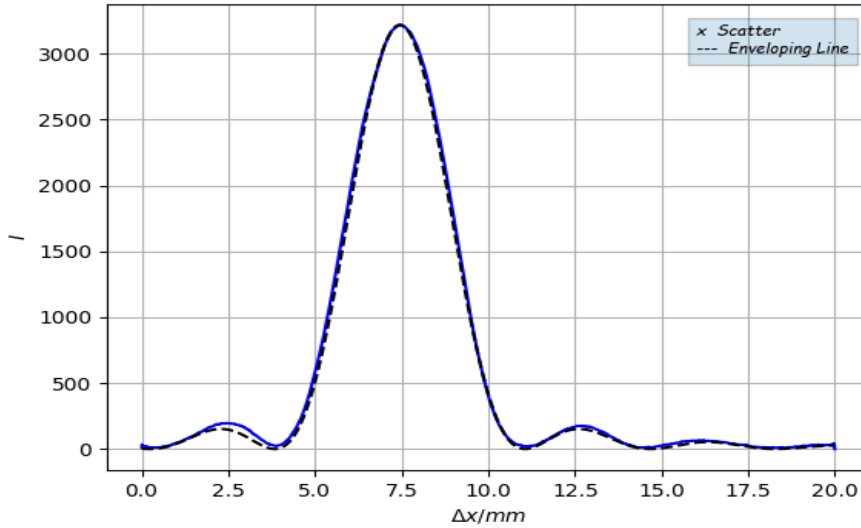


图 2: 单缝衍射光强分布原始数据与理论对比曲线

其中黑色虚线为代入狭缝宽度和中心光强后的理论曲线，蓝色散点图为通过实验数据画出的散点图，从上图我们可以看到，我们的实验曲线和理论曲线的吻合程度还是相当高的，从而验证了理论的正确性以及实验的准确性。

3.3.3 曲线拟合绘图

除了直接通过原始数据计算以外，我们还可以通过理论公式进行曲线的拟合计算，来求得最适合的拟合参数，即缝宽 a 和中心相对光强 I_0 。

我们将全部原始数据输入，并使得曲线调整至最佳收敛状态，得到的曲线如下图所示：

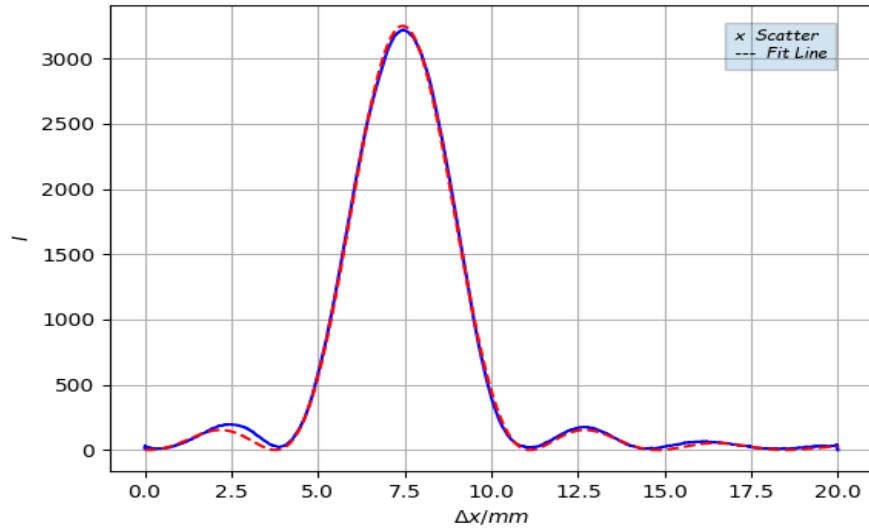


图 3: 单缝衍射光强分布原始数据与拟合曲线

其中红色虚线为拟合曲线，蓝色曲线为原始数据散点图，这样我们观察图像可知 $I = I_0 \left(\frac{\sin u}{u} \right)^2 = 3448.8 \left(\frac{\sin u}{u} \right)^2$

其中 $I_0 = 3448.8 \pm 1.3$, $x_0 = (7.4426 \pm 0.0007)mm$, $u = (0.8552 \pm 0.0004)(x - x_0)$

(其中的不确定度可以由拟合曲线后的协方差矩阵 Σ 得出)

因此我们可以计算各参量的不确定度为:

①中心最大相对光强: $I_0 = 3448.8 \pm 1.3$

②中心最大相对光强位置: $x_0 = (7.4426 \pm 0.0007)mm$

③缝宽: $a = (126.26 \pm 0.05)\mu m$

\therefore 拟合出来的 $a = (126.26 \pm 0.05)\mu m$, 与我们的计算值 $129.75\mu m$ 也较为接近, 实验数据也比较合理。

3.3.4 python 代码拟合作图

我们在程序中将 $I_0 = 3448.8$, $x_0 = 7.4426mm$ 定为常量, 只拟合缝宽 a , 我们取缝宽 a 从 $120\mu m \sim 130\mu m$ 等间距取 100 个点, 拟合作图如下 (python 代码在后面):

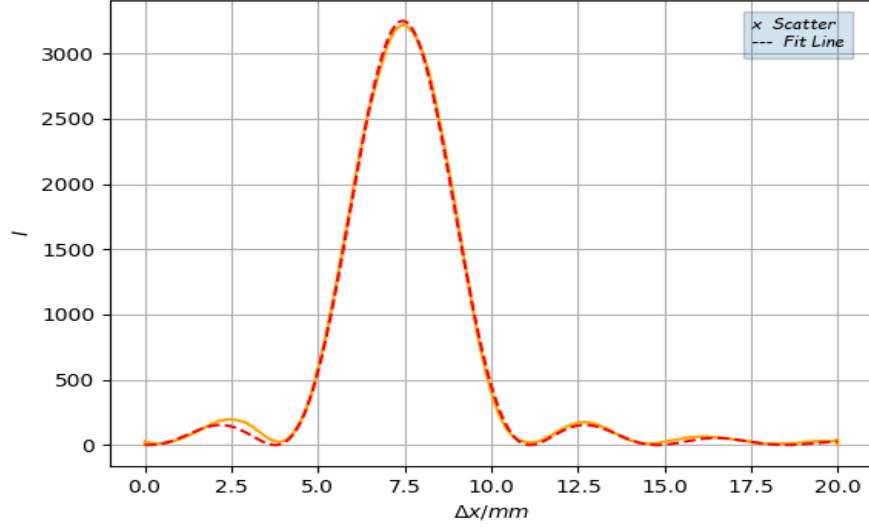


图 4: 单缝衍射光强分布原始数据与代码拟合曲线

其中红色虚线为拟合曲线，橙色曲线为原始数据的散点图，我们通过代码运行给出的参数有：

$$a = \frac{(0.812757 + 63 \times 0.00067) \times 632.8 \times 0.733}{\pi} \mu m = 126.23 \mu m$$

从中我们可以看到与软件曲线拟合的参数极为接近，画出来的图几乎没有差别，可以验证我们的代码的正确性以及数据的正确性。

4 测量双缝衍射的光强分布

4.1 利用衍射次极强计算缝间距 d

由 *txt* 文件，左右两个次极强的位置为：

$$x_1 = 28.710mm, \quad x_2 = 38.580mm$$

根据我们获得的 *txt* 文件，我们发现在左次极强的位置周围 $0.065mm$ 内光相对强度没有变化，右次极强的位置周围 $0.035mm$ 内光的强度没有变化，因此我们可以取极限允差为 $e = 0.065mm$

$$\Delta x = \frac{x_2 - x_1}{2} = 4.935mm$$

不确定度为：

$$\sigma_{\Delta x} = \sqrt{2 \times \left(\frac{e}{2\sqrt{3}}\right)^2} = 0.027mm$$

用钢尺测得衍射元件和传感器的间距为：

$$z = (88.90 - 12.00 + 0.40)cm = 77.30cm$$

最大允差取钢尺的最小分度值 $e = 0.10cm$

我们有公式 $\sin\theta = \frac{\lambda}{d}$ ，且满足傍轴条件， $\sin\theta = \Delta x/z$

$$\therefore d = \frac{\lambda}{\Delta x/z} = 98.4\mu m$$

缝间距 d 的不确定度为：

$$\sigma_d = d \sqrt{\left(\frac{\sigma_{\Delta x}}{\Delta x}\right)^2 + \left(\frac{e_z}{\sqrt{3}z}\right)^2} = 0.5\mu m$$

因此最后结果为： $d = (98.4 \pm 0.5)\mu m$

4.2 利用一级暗纹计算缝间距 d

由 *txt* 文件，左右两个暗纹的位置为：

$$x_1 = 30.875mm, \quad x_2 = 36.200mm$$

根据我们获得的 *txt* 文件，我们发现在左暗纹的位置周围 $0.070mm$ 内光相对强度没有变化，右暗纹的位置周围 $0.085mm$ 内光的相对强度没有变化，因此我们可以取极限允差为 $e = 0.085mm$

$$\Delta x = \frac{x_2 - x_1}{2} = 2.668mm$$

不确定度为：

$$\sigma_{\Delta x} = \sqrt{2 \times \left(\frac{e}{2\sqrt{3}}\right)^2} = 0.07mm$$

用钢尺测得衍射元件和传感器的间距为：

$$z = (88.90 - 12.00 + 0.40)cm = 77.30cm$$

最大允差取钢尺的最小分度值 $e = 0.10cm$

我们有公式 $\sin\theta = \frac{\lambda}{2d}$ ，且满足傍轴条件， $\sin\theta = \Delta x/z$

$$\therefore d = \frac{\lambda}{2\Delta x/z} = 96.7\mu m$$

缝间距 d 的不确定度为:

$$\sigma_d = d \sqrt{\left(\frac{\sigma_{\Delta x}}{\Delta x}\right)^2 + \left(\frac{e_z}{\sqrt{3}z}\right)^2} = 2.4\mu m$$

因此最后结果为: $d = (96.7 \pm 2.4)\mu m$

4.3 利用包络线出现一级暗纹计算缝宽 a

由 *txt* 文件, 左右两个暗纹的位置为:

$$x_1 = 20.735mm, \quad x_2 = 46.260mm$$

根据我们获得的 *txt* 文件, 我们发现在左右暗纹的位置周围 $0.030mm$ 内光相对强度没有变化, 因此我们可以取极限允差为 $e = 0.030mm$

$$\Delta x = \frac{x_2 - x_1}{2} = 12.763mm$$

不确定度为:

$$\sigma_{\Delta x} = \sqrt{2 \times \left(\frac{e}{2\sqrt{3}}\right)^2} = 0.024mm$$

用钢尺测得衍射元件和传感器的间距为:

$$z = (88.90 - 12.00 + 0.40)cm = 77.30cm$$

最大允差取钢尺的最小分度值 $e = 0.10cm$

我们有公式 $\sin\theta = \frac{\lambda}{a}$, 且满足傍轴条件, $\sin\theta = \Delta x/z$

$$\therefore a = \frac{\lambda}{\Delta x/z} = 38.33\mu m$$

缝宽 a 的不确定度为:

$$\sigma_a = a \sqrt{\left(\frac{\sigma_{\Delta x}}{\Delta x}\right)^2 + \left(\frac{e_z}{\sqrt{3}z}\right)^2} = 0.08\mu m$$

因此最后结果为: $a = (38.33 \pm 0.08)\mu m$

4.4 数据可视化

4.4.1 原始数据绘图

我们可以将得到的 *txt* 文件画出散点图，通过数据可视化的方法来得到双缝衍射光强的分布。

由原始数据作出的散点图如下图所示：

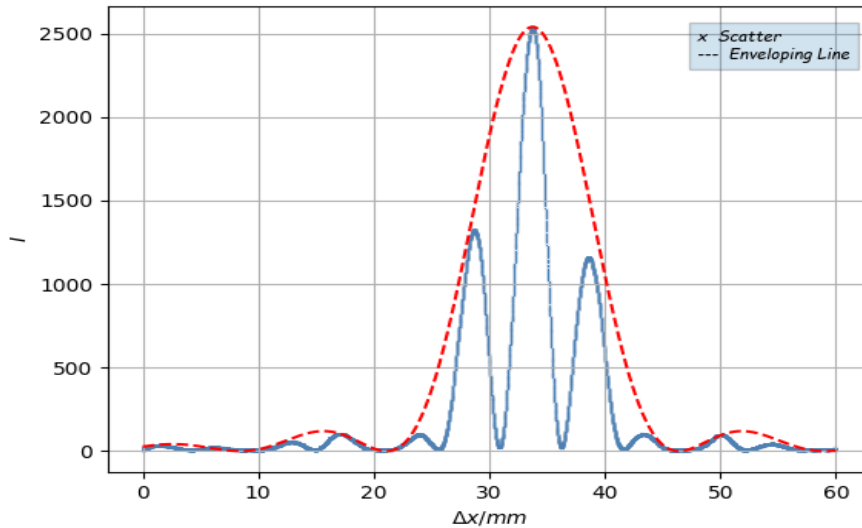


图 5: 双缝衍射光强分布原始数据散点图

4.4.2 理论与实验比较

为检验理论与实验的符合程度，我们将两者的曲线进行比较分析。

在 3.1 与 3.2 节中，我们计算用两种方法出了 $d_1 = (96.7 \pm 2.4)\mu m$, $d_2 = (98.4 \pm 0.5)\mu m$

我们不妨取 $\bar{d} = \frac{d_1 + d_2}{2} = 97.5\mu m$, $a = 38.33\mu m$, 且傍轴条件使得 $\sin\theta = \Delta x/z$
因此我们带入 \bar{d} 和 a 绘制图像如下图所示：

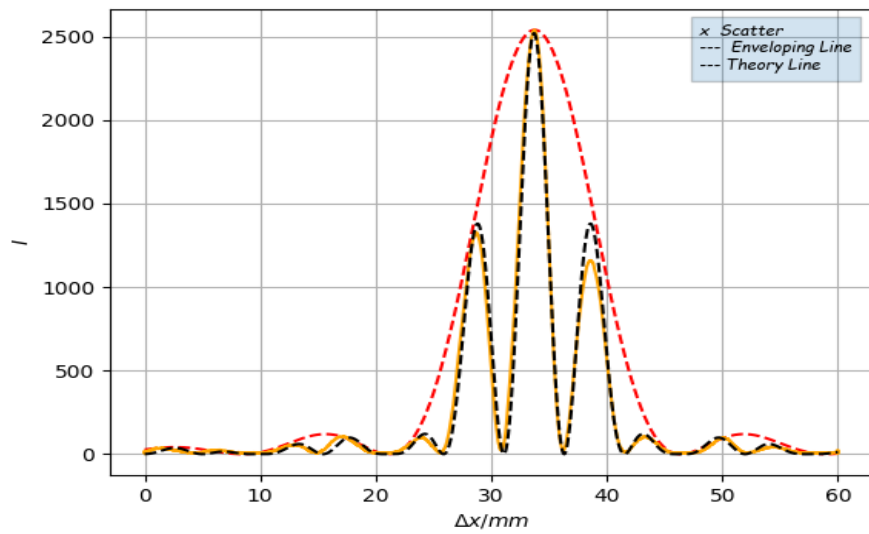


图 6: 双缝衍射光强分布原始数据与理论对比曲线

其中黑色虚线为代入狭缝宽度和中心光强后的理论曲线，橙色散点图为通过实验数据画出的散点图，红色虚线为包络线，从上图我们可以看到，我们的实验曲线和理论曲线除了次极强的位置实验比理论差了一点，其余部分的吻合程度还是相当高的，从而验证了理论的正确性以及实验的准确性。

4.4.3 曲线拟合绘图

除了直接通过原始数据计算以外，我们还可以通过理论公式进行曲线的拟合计算，来求得最适合的拟合参数，即缝宽 a ，缝间距 d 以及中心相对光强 I_0 。

我们将全部原始数据输入，并使得曲线调整至最佳收敛状态，得到的曲线如下图所示：

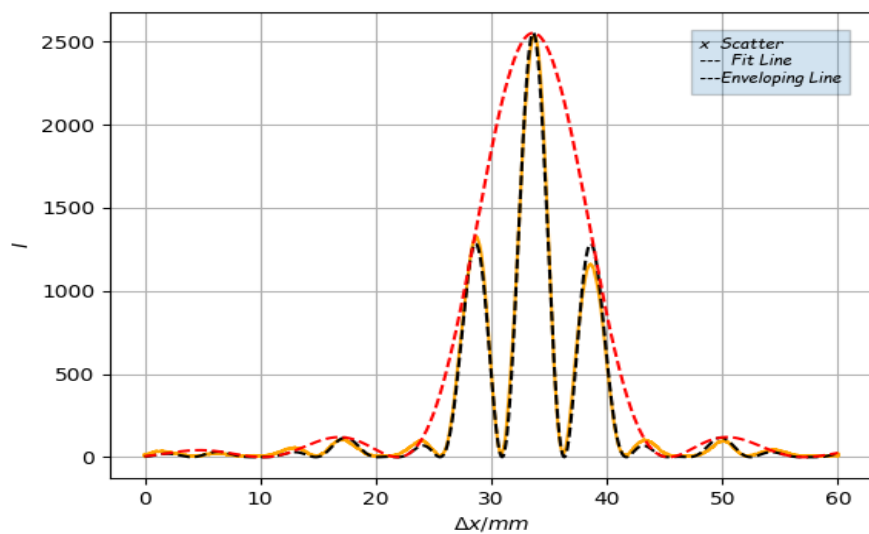


图 7: 双缝衍射光强分布原始数据与拟合曲线

其中黑色虚线为拟合曲线，红色虚线为包络线，橙色曲线为原始数据的散点图，这样我们观察图像可知 $I = I_0 \left(\frac{\sin u}{u} \right)^2 \left(\frac{\sin N\beta}{\sin \beta} \right)^2$

其中 $I_0 = 2552.6 \pm 1.3$, $x_0 = (33.6233 \pm 0.0007)mm$, $u = (0.2678 \pm 0.0003)(x - x_0)$, $\beta = (0.5844 \pm 0.0003)(x - x_0)$

(其中的不确定度可以由拟合曲线后的协方差矩阵 Σ 得出)

因此我们可以计算各参量的不确定度为：

①中心最大相对光强: $I_0 = 2552.6 \pm 1.3$

②中心最大相对光强位置: $x_0 = (33.6233 \pm 0.0007)mm$

③缝宽: $a = (41.70 \pm 0.03)\mu m$

④缝间距: $d = (91.00 \pm 0.05)\mu m$

\therefore 拟合出来的 $a = (41.70 \pm 0.03)\mu m$, 与我们的计算值 $a = 38.33\mu m$ 也较为接近, $d = (91.00 \pm 0.05)\mu m$, 与我们计算出来的 $d = 97.9\mu m$ 相差稍大, 应该是实验过程中测量暗纹时光强测量不准造成的误差, 但不影响实验数据也较为合理。

4.4.4 python 代码拟合作图

因为若只拟合 a 和 d 两个参量, 达到 0.0001 的精度时我们代码已经要运行 10min, 因此我们在程序中将 $I_0 = 2552.6, x_0 = 33.6233mm$ 定为常量, 只拟合缝宽 a 和缝间距 d , 其中缝宽 a 从 $35\mu m \sim 45\mu m$ 等间距取 100 个点, 缝间距 d 从 $85\mu m \sim 95\mu m$ 等间距取 100 个点, 拟合作图如下 (python 代码在后面):

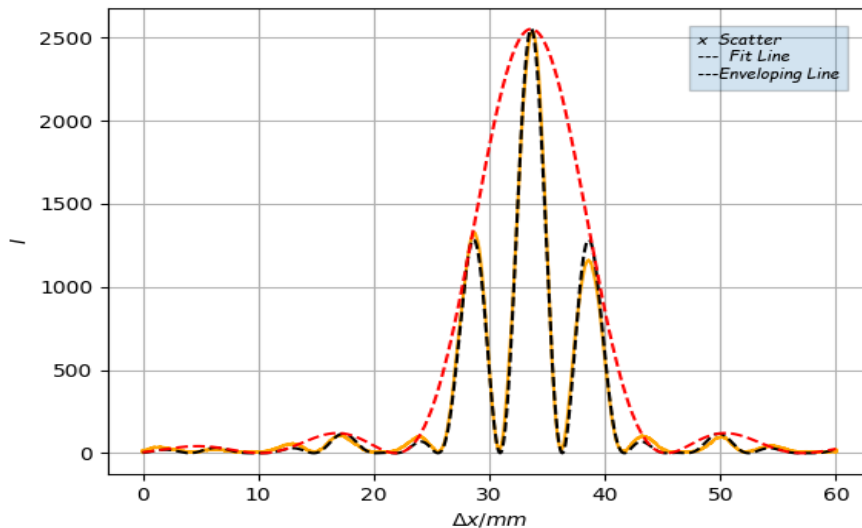


图 8: 双缝衍射光强分布原始数据与代码拟合曲线

其中黑色虚线为拟合曲线，红色虚线为包络线，橙色曲线为原始数据的散点图，我们通

过代码运行给出的参数有:

$$a = \frac{(0.224787 + 67 \times 0.00064) \times 632.8 \times 0.773}{\pi} \mu m = 41.68 \mu m$$

$$d = \frac{(0.545912 + 60 \times 0.00064) \times 632.8 \times 0.773}{\pi} \mu m = 90.98 \mu m$$

从中我们可以看到与软件曲线拟合的参数极为接近，画出来的图几乎没有差别，可以验证我们的代码的正确性以及数据的正确性。

5 测量三缝衍射的光强分布

5.1 利用衍射次极强计算缝间距 d

由 *txt* 文件，左右两个次极强的位置为:

$$x_1 = 24.835mm, \quad x_2 = 35.075mm$$

根据我们获得的 *txt* 文件，我们发现在左次极强的位置周围 $0.025mm$ 内光相对强度没有变化，右次极强的位置周围 $0.050mm$ 内光的强度没有变化，因此我们可以取极限允差为 $e = 0.050mm$

$$\Delta x = \frac{x_2 - x_1}{2} = 5.120mm$$

不确定度为:

$$\sigma_{\Delta x} = \sqrt{2 \times \left(\frac{e}{2\sqrt{3}}\right)^2} = 0.041mm$$

用钢尺测得衍射元件和传感器的间距为:

$$z = (88.90 - 13.00 + 0.40)cm = 76.30cm$$

最大允差取钢尺的最小分度值 $e = 0.10cm$

我们有公式 $\sin\theta = \frac{\lambda}{d}$ ，且满足傍轴条件， $\sin\theta = \Delta x/z$

$$\therefore d = \frac{\lambda}{\Delta x/z} = 91.6\mu m$$

缝间距 d 的不确定度为:

$$\sigma_d = d \sqrt{\left(\frac{\sigma_{\Delta x}}{\Delta x}\right)^2 + \left(\frac{e_z}{\sqrt{3}z}\right)^2} = 0.8\mu m$$

因此最后结果为: $d = (91.6 \pm 0.8)\mu m$

5.2 利用一级暗纹计算缝间距 d

由 *txt* 文件，左右两个暗纹的位置为：

$$x_1 = 28.055mm, \quad x_2 = 31.620mm$$

根据我们获得的 *txt* 文件，我们发现在左暗纹的位置周围 $0.055mm$ 内光相对强度没有变化，右暗纹的位置周围 $0.015mm$ 内光的相对强度没有变化，因此我们可以取极限允差为 $e = 0.055mm$

$$\Delta x = \frac{x_2 - x_1}{2} = 1.783mm$$

不确定度为：

$$\sigma_{\Delta x} = \sqrt{2 \times \left(\frac{e}{2\sqrt{3}}\right)^2} = 0.045mm$$

用钢尺测得衍射元件和传感器的间距为：

$$z = (88.90 - 13.00 + 0.40)cm = 76.30cm$$

最大允差取钢尺的最小分度值 $e = 0.10cm$

我们有公式 $\sin\theta = \frac{\lambda}{3d}$ ，且满足傍轴条件， $\sin\theta = \Delta x/z$

$$\therefore d = \frac{\lambda}{3\Delta x/z} = 90.3\mu m$$

缝间距 d 的不确定度为：

$$\sigma_d = d \sqrt{\left(\frac{\sigma_{\Delta x}}{\Delta x}\right)^2 + \left(\frac{e_z}{\sqrt{3}z}\right)^2} = 2.3\mu m$$

因此最后结果为： $d = (90.3 \pm 2.3)\mu m$

5.3 利用包络线出现一级暗纹计算缝宽 a

由 *txt* 文件，左右两个暗纹的位置为：

$$x_1 = 15.630mm, \quad x_2 = 43.820mm$$

根据我们获得的 *txt* 文件，我们发现在左右暗纹的位置周围 $0.040mm$ 内光相对强度没有变化，因此我们可以取极限允差为 $e = 0.040mm$

$$\Delta x = \frac{x_2 - x_1}{2} = 14.095mm$$

不确定度为：

$$\sigma_{\Delta x} = \sqrt{2 \times \left(\frac{e}{2\sqrt{3}}\right)^2} = 0.033mm$$

用钢尺测得衍射元件和传感器的间距为：

$$z = (88.90 - 13.00 + 0.40)cm = 76.30cm$$

最大允差取钢尺的最小分度值 $e = 0.10cm$

我们有公式 $\sin\theta = \frac{\lambda}{a}$ ，且满足傍轴条件， $\sin\theta = \Delta x/z$

$$\therefore a = \frac{\lambda}{\Delta x/z} = 34.26\mu m$$

缝宽 a 的不确定度为：

$$\sigma_a = a \sqrt{\left(\frac{\sigma_{\Delta x}}{\Delta x}\right)^2 + \left(\frac{e_z}{\sqrt{3}z}\right)^2} = 0.08\mu m$$

因此最后结果为： $a = (34.26 \pm 0.08)\mu m$

5.4 数据可视化

5.4.1 原始数据绘图

我们可以将得到的 *txt* 文件画出散点图，通过数据可视化的方法来得到三缝衍射光强的分布。

由原始数据作出的散点图如下图所示：

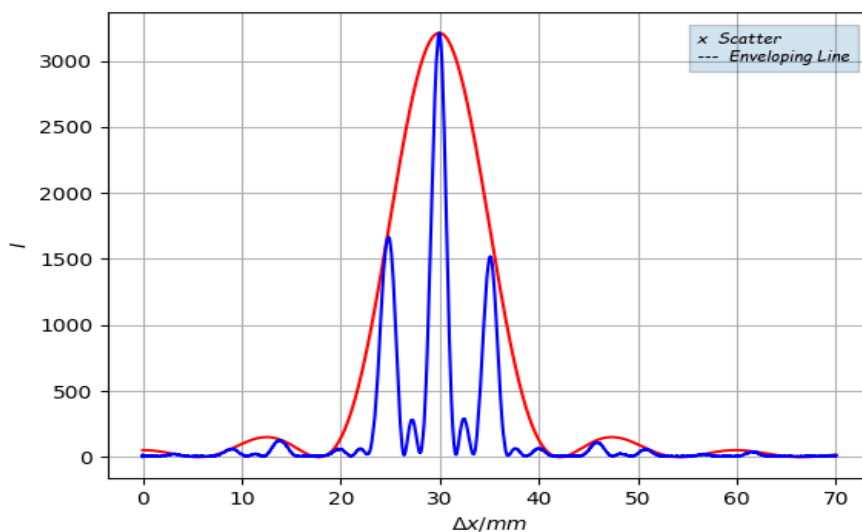


图 9: 三缝衍射光强分布原始数据散点图

5.4.2 理论与实验比较

为检验理论与实验的符合程度，我们将两者的曲线进行比较分析。

在 3.1 与 3.2 节中，我们计算用两种方法出了 $d_1 = (91.6 \pm 0.8)\mu m$, $d_2 = (90.3 \pm 2.3)\mu m$

我们不妨取 $\bar{d} = \frac{d_1 + d_2}{2} = 90.9\mu m$ 和 $a = 34.26\mu m$ ，且傍轴条件使得 $\sin\theta = \Delta x/z$ 因此我们带入 \bar{d} 和 a 绘制图像如下图所示：

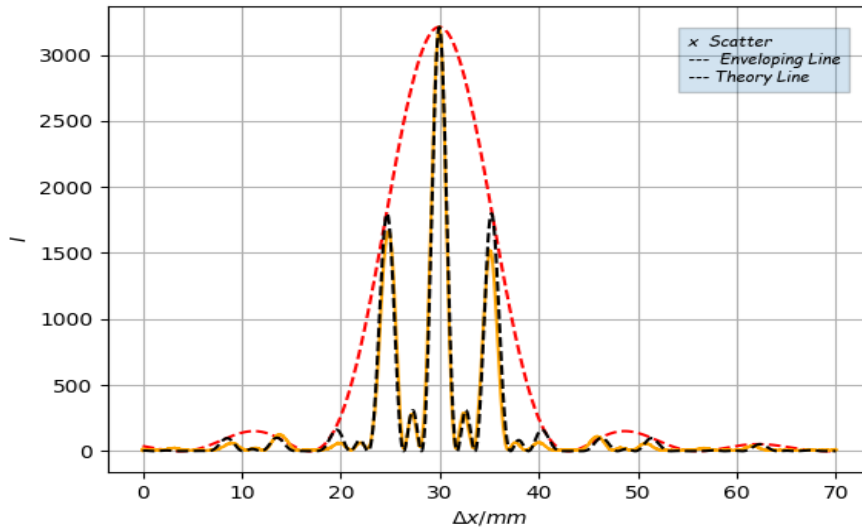


图 10: 三缝衍射光强分布原始数据与理论对比曲线

其中黑色虚线为代入狭缝宽度和中心光强后的理论曲线，橙色散点图为通过实验数据画出的散点图，红色虚线为包络线，从上图我们可以看到，我们的实验曲线和理论曲线除了次极强的位置实验比理论差了一点，其余部分的吻合程度还是相当高的，从而验证了理论的正确性以及实验的准确性。

5.4.3 曲线拟合绘图

除了直接通过原始数据计算以外，我们还可以通过理论公式进行曲线的拟合计算，来求得最适合的拟合参数，即缝宽 a ，缝间距 d 以及中心相对光强 I_0 。

我们将全部原始数据输入，并使得曲线调整至最佳收敛状态，得到的曲线如下图所示：

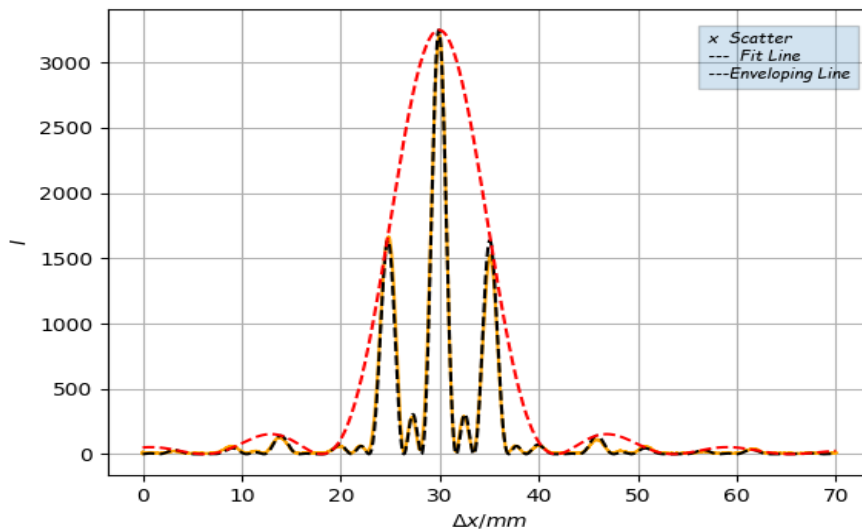


图 11: 三缝衍射光强分布原始数据与拟合曲线

其中黑色虚线为拟合曲线，红色虚线为包络线，橙色曲线为原始数据的散点图，这样我们观察图像可知 $I = I_0 \left(\frac{\sin u}{u} \right)^2 \left(\frac{\sin N\beta}{\sin \beta} \right)^2$

其中 $I_0 = 3250.3 \pm 1.9$, $x_0 = (29.9066 \pm 0.0005)mm$, $u = (0.2652 \pm 0.0003)(x - x_0)$, $\beta = (0.5933 \pm 0.0003)(x - x_0)$

(其中的不确定度可以由拟合曲线后的协方差矩阵 Σ 得出)

因此我们可以计算各参量的不确定度为：

①中心最大相对光强: $I_0 = 3250.3 \pm 1.9$

②中心最大相对光强位置: $x_0 = (29.9066 \pm 0.0005)mm$

③缝宽: $a = (40.76 \pm 0.04)\mu m$

④缝间距: $d = (91.18 \pm 0.03)\mu m$

\therefore 拟合出来的 $a = (40.76 \pm 0.04)\mu m$, 与我们的计算值 $a = 34.26\mu m$ 相差较大, 应该是实验过程中测量暗纹时光强测量不准造成的误差, $d = (91.18 \pm 0.03)\mu m$, 与我们计算出来的 $d = 90.9\mu m$ 极为接近, 因此可以看出我们的实验数据比较合理。

5.4.4 python 代码拟合作图

因为若只拟合 a 和 d 两个参量, 达到 0.0001 的精度时我们代码已经要运行 10min, 因此我们在程序中将 $I_0 = 3250.3, x_0 = 29.9066mm$ 定为常量, 只拟合缝宽 a 和缝间距 d , 其中缝宽 a 从 $35\mu m \sim 45\mu m$ 等间距取 100 个点, 缝间距 d 从 $85\mu m \sim 95\mu m$ 等间距取 100 个点, 拟合作图如下 (python 代码在后面):

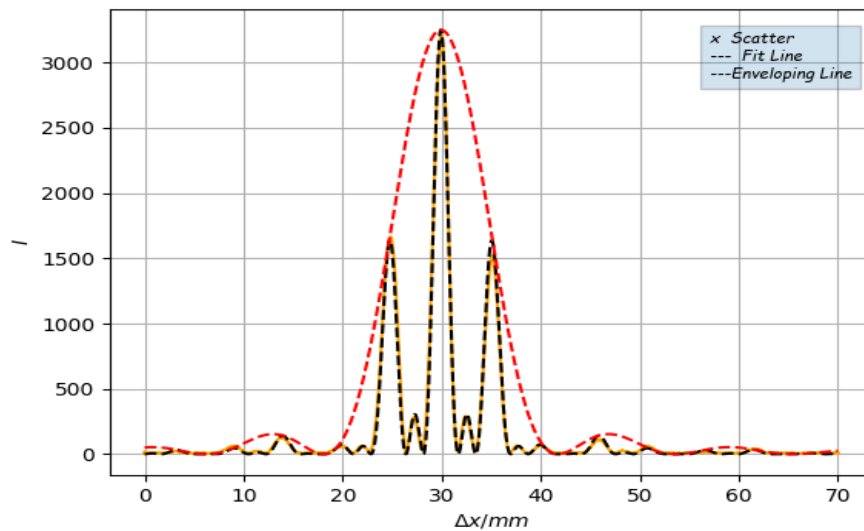


图 12: 三缝衍射光强分布原始数据与代码拟合曲线

其中黑色虚线为拟合曲线，红色虚线为包络线，橙色曲线为原始数据的散点图，我们通过代码运行给出的参数有：

$$a = \frac{(0.227733 + 59 \times 0.00064) \times 632.8 \times 0.763}{\pi} \mu m = 40.80 \mu m$$

$$d = \frac{(0.553067 + 63 \times 0.00064) \times 632.8 \times 0.763}{\pi} \mu m = 91.20 \mu m$$

从中我们可以看到与软件曲线拟合的参数极为接近，画出来的图几乎没有差别，可以验证我们的代码的正确性以及数据的正确性。

6 python 源代码 (以三缝数据为例)

```
1 import numpy as np
2 import matplotlib.pyplot as plt
3 filename = '三缝.txt'
4 pos = []
5 Efield = []
6 list1=[]
7 list2=[]
8 with open(filename, 'r') as file_to_read:
9     while True:
10         lines = file_to_read.readline() # 整行读取数据
11         if not lines:
```

```

12         break
13     pass
14     p_tmp, E_tmp = [float(i) for i in lines.split()]
15     pos.append(p_tmp)
16     Efield.append(E_tmp)
17     pass
18     pos = np.array(pos) # 将数据从list类型转换为array类型。
19     Efield = np.array(Efield)
20 l=[] for i in range(100)]
21 m=361.14
22 n=29.9066
23 e=0.00064
24 c=0.227733
25 w=0.553067
26 k=0
27 g=0
28 def residual_function(a,d):
29     s=0
30     i=0
31     while i <=13999:
32         s+=(Efield[i]-m*(((np.sin(a*(pos[i]-n)))/(a*(pos[i]-n)))
33             **2)*(((np.sin(d*3*(pos[i]-n)))/(np.sin(d*(pos[i]-n))))
34             **2))**2
35         i+=1
36     return s
37 while k<=99:
38     j=0
39     while j<=99:
40         l[k].append(residual_function(c+j*e,w+k*e))
41         j+=1
42     k+=1
43 while g<=99:
44     list1.append(min(l[g]))
45     list2.append(l[g].index(min(l[g])))
46     g+=1
47 q=list1.index(min(list1))
48 p=list2[q]

```

```

47 print(p,q)
48 x1=np.linspace(0,70,14000)
49 y1=9*m*(((np.sin((c+p*e)*(x1-n)))/((c+p*e)*(x1-n))))**2)
50 x2=np.linspace(0,70,14000)
51 y2=m*(((np.sin((c+p*e)*(x2-n)))/((c+p*e)*(x2-n))))**2)*(((np.sin((w+
    q*e)*3*(x2-n)))/(np.sin((w+q*e)*(x2-n))))**2)
52 plt.plot(pos,Efield,'orange')
53 plt.plot(x2,y2,'black',linestyle='--')
54 plt.plot(x1,y1,'r',linestyle='--')
55 plt.xlabel('$\Delta x/mm$')
56 plt.ylabel('$I$')
57 plt.grid()
58 plt.text(57,2880,'xScatter\n---FitLine\n---EnvelopingLine',size =
    8,family = "fantasy",style = "italic",bbox = dict(alpha = 0.2))
59 plt.show()

```

此代码主要由以下几个部分构成:①读取已有的实验数据 *txt* 文件;②定义残差函数;③创建一个二维数组,用于储存不同参数下的残差函数值;④遍历此二维数组,找出数组内元素值最小的位置,并输出其行数和列数;⑤通过输出值计算出缝宽 a 和缝间距 d ;⑥用 *matplotlib* 作原始数据散点图以及拟合曲线图。

7 分析与讨论

7.1 实验中误差来源分析

①由于夫琅禾费衍射是确定在远场条件下的,因此如果衍射屏与接收屏的距离不足以达到远场条件,那么我们的原理公式将会不成立,傍轴条件的不满足也会导致原理公式的错误。

②我们的公式要求是在光线正入射的情况下满足的,但我们调节光路时不一定能够调节得光路一定共轴等高,以及不一定能够满足光线正入射的条件,而光线斜入射时候的原理公式会发生改变,因此这也会成为误差来源之一。

③我们测量衍射屏到接收屏距离的时候会有测量的误差,而光强检测器测量光强时因为仪器的精度也会有一定误差。

④我们在测量光强时因为周围都有各种因素的干扰,存在背景灯光,以及时不时的各种遮挡而导致的光强测量不准确,这一点在利用一级暗纹来测量缝宽和缝间距上极为明显,因为本来光强较小,因此这一点误差将会从造成极大影响。